

**RIEŠENIE NIEKTORÝCH KONTAKTNÝCH ÚLOH POMOCOU OPTICKEJ TIENOVEJ METÓDY KAUSTÍK**

Jednou z úloh relatívne novej experimentálnej metódy založenej na princípoch geometrickej optiky, tienovej optickej metódy kaustík, ktorej základy položil Manogg (1) a ktorú ďalej rozvíjali Theocaris, Kalthoff (3), Rosakis (4), je vyšetrenie kontaktných problémov. Pri riešení týchto úloh sa vychádza z Hertzových a Muskhelišviliových predpokladov ako i z výsledkov prác Shukla a Damiana (5) a Theocarisa (2). Fyzikálny princíp tejto metódy je pre jednoduchý prípad naznačený na obr. 1. Sústava dvoch telies z transparentného materiálu, zaťažená v osi sústavy tlakovou silou je presvetľovaná paralelnými lúčmi. Na základe zmeny koncentrácie napätí v mieste styku oboch telies menia sa v tejto oblasti fyzikálne podmienky prechodu svetla (hrúbka vzorky, index lomu). Ak v dôsledku týchto zmien odklonené lúče, necháme vo vzdialenosti  $z$  od vzorky dopadnúť na zobrazovaciu rovinu, objaví sa oblasť tieňa ostro ohraničená jasným svetlom, tzv. kaustik.

Pri kontakte dvoch telies zaťažených silou  $F$  budú okraje oboch telies deformované. Funkcia hrúbky deformovanej plochy bude

$$\Delta S = f(x, y) \tag{1}$$

pričom vektor odklonu  $\vec{w}$  možno zapísať

$$\vec{w} = w_x \vec{i} + w_y \vec{j} \tag{2}$$

a zložky  $w_x$  a  $w_y$

$$w_x = x - z_0 \frac{\partial(f(x, y))}{\partial x} \tag{3}$$

$$w_y = y - z_0 \frac{\partial(f(x, y))}{\partial y}$$

Je možné tiež písať

$$\vec{w} = \vec{r} - z_0 \overrightarrow{\text{grad}} \Delta S(x, y) \tag{4}$$

Podmienkou, že existuje len jedna kaustická krivka je

$$J = \frac{\partial(w_x, w_y)}{\partial(x, y)} = 0 \tag{5}$$

Zmenu hrúbky možno podľa (3) vyjadriť vzťahom

$$\Delta S_{1,2} = c d_{\text{eff}} (\sigma_1 + \sigma_2) + \lambda (\sigma_1 - \sigma_2) \tag{6}$$

pričom vzťahy pre  $c, \lambda$  možno nájsť v (3).

Hlavnou úlohou pri vyšetrovaní kontaktných problémov pomocou metódy kaustík je určenie  $\overrightarrow{\text{grad}} \Delta S(x, y)$ . Ako pomoc pre matematické vyjadrenie uvedeného gradientu bola použitá metóda Muskhelišviliho. Podľa tejto teórie možno funkcie napätí definovať nasledovne

$$\begin{aligned} \sigma_1 + \sigma_2 &= 4 \operatorname{Re} \phi(z) \\ \sigma_1 - \sigma_2 &= -4y \operatorname{Im} \phi'(z) \end{aligned} \tag{7}$$

Uvažujeme kontakt dvoch homogénnych, elastických kotúčov a polomerami  $R_1, R_2$  s bodovou iniciačnou dĺžkou kontaktu. Daná

sústava je zatažená tlakovou silou  $F$  obr.2. Pre tento problém získal Muskhelišvili nasledovnú potenciálnu funkciu komplexnej premennej

$$\phi(z) = \frac{(l^2 - z^2)^{1/2}}{2\pi K} \int_{-l}^l \frac{f(t) dt}{(l^2 - t^2)^{1/2} (t - z)} \quad (8)$$

pričom

$$\int_{-l}^l \frac{t f(t) dt}{(l^2 - t^2)^{1/2}} = KF \quad (9)$$

$$f(t) = \frac{1}{2} \left( \frac{1}{R_1} + \frac{1}{R_2} \right) t^2 \quad ; \quad K = \frac{k_1 + 1}{4\mu_1} + \frac{k_2 + 1}{4\mu_2} \quad (10)$$

$k_{1,2} = 3 - 4\nu_{1,2} \dots$  stav rovinného pretvorenia

$k_{1,2} = (3 - \nu_{1,2}) / (1 + \nu_{1,2})$  stav rovinnnej napätosti

Pri uvažovaní súradnicového systému, ktorého stred je totožný s inicializačným bodom kontaktnej dĺžky a  $x$ -ová os je dotyčnicou k obidvom kotúčom a podľa Muskhelišviliho metódy sa predpokladá, že kontaktná dĺžka v porovnaní s rozmermi kotúčov je veľmi malá a že zostáva priamkou. Z integrácie (8) a (9) dostávame výraz pre komplexnú funkciu  $\phi(z)$  a pre kontaktnú dĺžku

$$\phi(z) = -i \frac{R_1 + R_2}{2KR_1R_2} [z - (z^2 - l^2)^{1/2}] \quad ; \quad l^2 = \frac{2R_1R_2}{\pi(R_1 + R_2)} KF \quad (11)$$

Pri uvažovaní izotropného problému máme rovnicu (4) v tvare

$$\vec{w} = m\vec{r} - c d_{eff} z_0 \overrightarrow{grad} (\sigma_1 + \sigma_2) \quad (12)$$

Po dosadení (7) do (12) možno písať

$$\vec{w} = m\vec{r} - 4c d_{eff} z_0 \left( \frac{d\phi(z)}{dz} \right) \quad (13)$$

a po úprave možno na základe rovníc (4) a (13) písať

$$\frac{4c d_{eff} z_0}{m} \left| \frac{d^2\phi(z)}{dz^2} \right| = 1 \quad (14)$$

Po úprave ľavej strany tejto rovnice, vyjadrením konštanty

$c^* = \frac{c d_{eff} z_0 (R_1 + R_2)}{m K R_1 R_2}$  a s pomocou obr. 3 dostávame

$$\frac{4c d_{eff} z_0}{m} \left| \frac{d^2\phi(z)}{dz^2} \right| = 2c^* \frac{l^2}{(r_{10} r_{20})^{3/2}} \quad (15)$$

pričom  $r_{10} r_{20} = (2c^*)^{2/3} l^{4/3}$

Po dosadení za  $r_{10}, r_{20}$  a po úpravách dostávame výraz pre polomer inicializačnej krivky

$$r_0 = l \left\{ \cos 2\theta \pm [\cos^2 2\theta - 1 + (2c^*/l)^{4/3}]^{1/2} \right\}^{1/2} \quad (16)$$

Predpokladmi existencie len jediného inicializačného polomeru

$r_0$  je súčasná platnosť vzt'ahov

$$\frac{2c^*}{l} > 1 \quad \text{a} \quad \cos 2\theta + [\cos^2 2\theta - 1 + (2c^*/l)^{4/3}]^{1/2} > 0$$

Na základe týchto predpokladov môže byť rovnica (16) prepísaná do tvaru

$$r_0 = l \left\{ \cos 2\theta + [\cos^2 2\theta - 1 + (2c^*/l)^{4/3}]^{1/2} \right\}^{1/2} \quad (17)$$

Pre vyjadrenie zobrazovacích rovníc využijeme komplexnú funkciu  $\phi(z)$  v tvare

$$\frac{4c d_{eff} z_0}{m} \frac{d\phi}{dz} = -i (2c^*) \left[ 1 - \frac{z}{(z^2 - l^2)^{1/2}} \right] \quad (18)$$

alebo po dosadení a úprave

$$\frac{4c d_{eff} z_0}{m} \frac{d\phi}{dz} = -i (2c^*) \left\{ 1 - r (2c^*)^{-1/3} l^{-1/3} [\cos(\theta - \frac{1}{2} \overline{\theta_1 + \theta_2}) + i \sin(\theta - \frac{1}{2} \overline{\theta_1 + \theta_2})] \right\} \quad (19)$$

Na základe rovnice (19) a s využitím rovnice (13) dostávame výraz pre zobrazovacie rovnice kaustickej krivky v už upravenom tvare

$$\begin{aligned} x' &= m \left\{ r_0 \cos \theta - r_0 (2c^*)^{2/3} \left[^{-2/3} \sin \left[ \theta - \frac{1}{2} (\theta_1 + \theta_2) \right] \right] \right\} \\ y' &= m \left\{ r_0 \sin \theta - r_0 (2c^*)^{2/3} \left[^{-2/3} \cos \left[ \theta - \frac{1}{2} (\theta_1 + \theta_2) \right] - 2c^* \right] \right\} \end{aligned} \quad (20)$$

Pri kontaktných úlohách nebude viac polomer inicializačnej krivky konštantný ale komplikovaná uzavretá krivka. Rovnako značne komplikovanou bude aj zobrazovacia krivka-kaustika. Získanie tvaru týchto kriviek je možné len numerickou cestou, najvýhodnejšou formou je spojenie počítača s kresliacim zariadením.

Pre anizotropný problém je možné použiť rovnaké komplexné funkcie ako pri izotropných úlohách. Aby sa však riešenie úloh zjednodušilo zmeníme funkciu  $\phi(z)$  nasledovne

$$\phi(z) = U + iV \quad ; \quad \operatorname{Re} \phi(z) = U \quad ; \quad \operatorname{Im} \phi(z) = V \quad (21)$$

Pri použití Riemann-Cauchyho rovnice bude

$$\operatorname{Im} \phi'(z) = \frac{\partial U}{\partial x} = - \frac{\partial V}{\partial y} \quad (22)$$

Po dosadení rovníc (21) a (22) do rovnice (7) a po úprave možno písať

$$\Delta S_{42} = 4c_{\text{eff}} \left[ U \pm \lambda \left( y \frac{\partial U}{\partial y} + C_1 \right) \right] \quad (23)$$

S využitím tejto rovnice ako aj vzťahu (4) dostávame

$$z_0 \overrightarrow{\operatorname{grad}} (\Delta S) = 4c_{\text{eff}} z_0 \left\{ \left[ \frac{\partial U}{\partial x} \pm \lambda y \frac{\partial U}{\partial x \partial y} \right] + i \left[ \frac{\partial U}{\partial y} \pm \lambda \left( \frac{\partial U}{\partial y} + y \frac{\partial^2 U}{\partial y^2} \right) \right] \right\} \quad (24)$$

Ak označíme  $AA = 4c_{\text{eff}} z_0$  budú zložky vektora  $\vec{W}$  vyjadrené

$$w_x = m_x - AA \left( \frac{\partial U}{\partial x} \pm \lambda y \frac{\partial^2 U}{\partial x \partial y} \right) \quad ; \quad w_y = m_y - AA \left[ (1 \pm \lambda) \frac{\partial U}{\partial y} \pm \lambda y \frac{\partial^2 U}{\partial y^2} \right] \quad (25)$$

Po vyjadrení perociálnych derivácií a po ich dosadení do rovnice (25) možno písať zobrazovacie rovnice kaustickej krivky

$$\begin{aligned} x' &= m \left\{ r_0 \cos \theta - r_0 2c^* \left[ (r_0 r_2)^{-1/2} \cos \left( \theta - \frac{1}{2} (\theta_1 + \theta_2) \right) \pm \lambda \sin \theta \right]^2 (r_0 r_2)^{-3/2} \cos \frac{3}{2} (\theta_1 + \theta_2) \right\} \\ y' &= m \left\{ r_0 \sin \theta - r_0 2c^* \left[ (r_0 r_2)^{-1/2} \cos \left( \theta - \frac{1}{2} (\theta_1 + \theta_2) \right) (1 \pm \lambda) \pm \lambda \sin \theta \right]^2 (r_0 r_2)^{-3/2} \sin \frac{3}{2} (\theta_1 + \theta_2) \right\} \end{aligned} \quad (26)$$

a polomer inicializačnej krivky  $r$  možno vyjadriť s rovnice

$$J = \left[ m - AA \left( \frac{\partial^2 U}{\partial x^2} \pm \lambda y \frac{\partial^2 U}{\partial x \partial y} \right) \right] \cdot \left[ m - AA \left[ (1 \pm 2\lambda) \frac{\partial^2 U}{\partial y^2} \pm \lambda \frac{\partial^3 U}{\partial y^3} \right] \right] - AA^2 \left[ (1 \pm \lambda) \frac{\partial^2 U}{\partial x \partial y} \pm \lambda y \frac{\partial^3 U}{\partial x \partial y^2} \right]^2 \quad (27)$$

Pretože pre anizotropné úlohy je však sotva možné nájsť jednoduché analytické riešenie, je potrebné riešiť rovnice (26) a (27) použitím numerických metód.

Na základe horeuvedenej teórie boli zostrojené praktické diagramy na vyhodnocovanie kaustických kriviek pri styku dvoch kotúčov. Na obr. 4 sú tieto krivky pre izotropné materiály a na obr. 5 pre anizotropné materiály. Význam  $H_i$  a  $H_o$  ukazuje obr. 6 a koeficient  $K_i = (R_1 + R_2) d_{\text{eff}} / R_1 R_2$ .

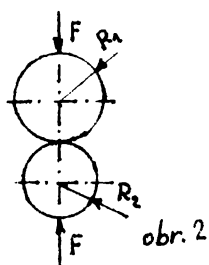
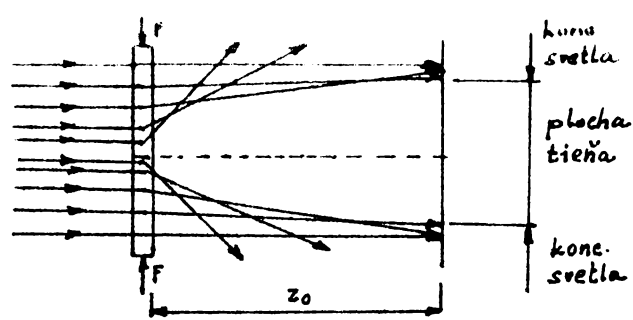
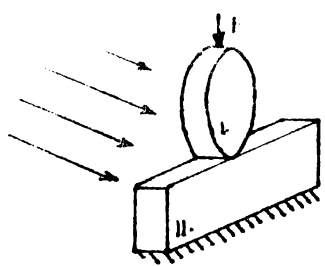
Zoznam literatúry: /1/ Manogg P.-Anwendung der Schattenoptik zur Untersuchung des Zerreißvorgangs von Platten, Wiss. Bericht 4/64, Freiburg, 1964.

/2/ Theocaris P. S. - The Elastic Contact of Two Disks by the Method of Caustics, Exp. Mech. V28, 1978

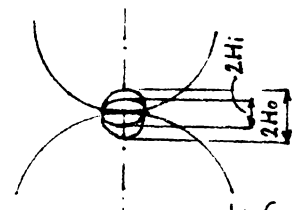
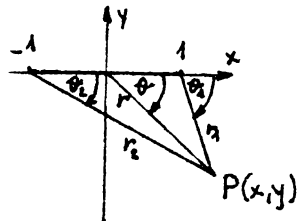
/3/ Kalthoff J. F. - Shadow Optical Method of Caustics, SEMI, 1987

/4/ Rosakis A. J. a Zahnér A. T. - On the Method of Caustics: An Exact Analysis Based on Geometrical Optics, J. of Elast., 1985

/5/ Shukla A. a Damiana C. - Experimental Investigation of Wave Velocity and Dynamic Contact Stress in an Assembly of Disks

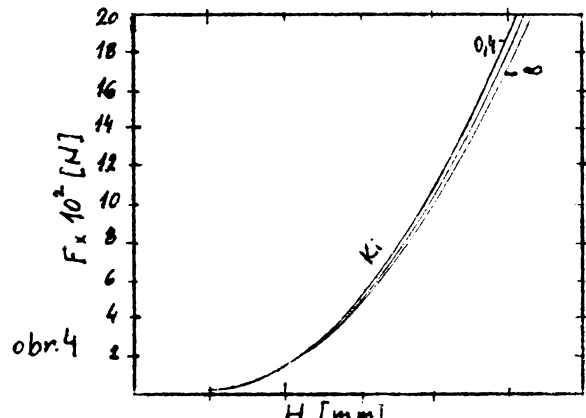
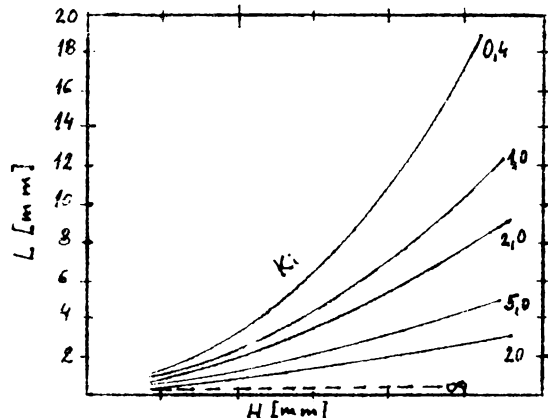


obr. 1

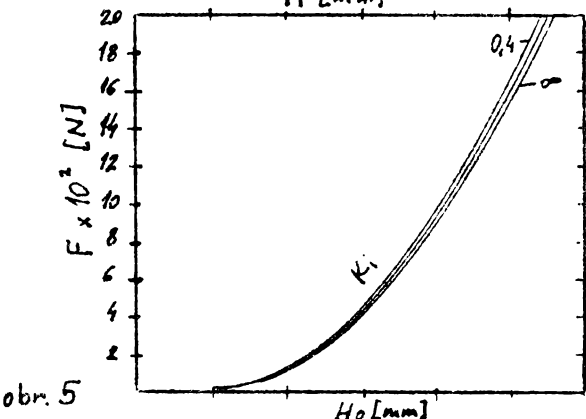
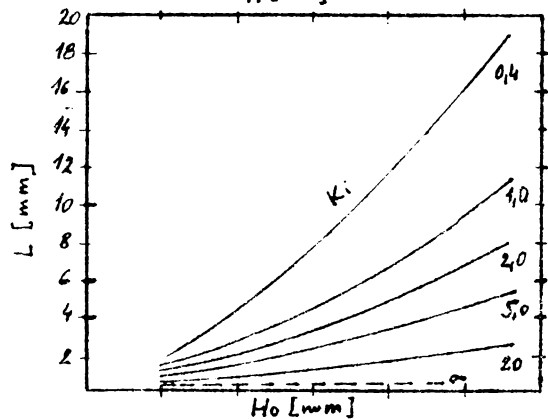


obr. 3

obr. 6



obr. 4



obr. 5

